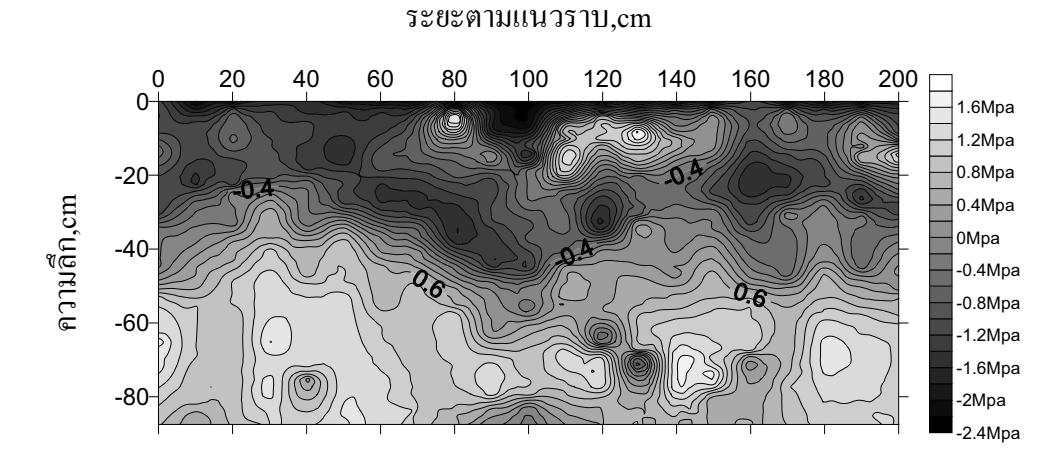
ค่าความต้านทานการแทงทะลุของดินที่ได้จากการเก็บค่าในแปลงนั้นไม่สามารถนำมาเปรียบเทียบกันได้โดย ตรงเพราะค่าที่ได้ขึ้นกับปัจจัยเกี่ยวข้องอื่นเช่นความชื้นของดินและชนิดของดิน จากผลการทดลองของ Koike และคณะ [19] พบว่าค่าความแข็งของดินนั้นมีเพิ่มขึ้นตามเปอร์เซ็นด์ของอนุภาคดินเหนียว ซึ่งในการเก็บค่าความชื้นของดินใน แปลงพบว่ามีค่าค่อนข้างแตกต่างกัน นอกจากนี้ชนิดของดินก็ต่างกันเล็กน้อย ดังนั้นเพื่อให้สามารถทำการเปรียบเทียบ ค่าความต้านทานการแทงทะลุของดินละแปลงที่ทำการสำรวจเพื่อเป็นแนวทางในการหาแนวโน้มของการเกิดการอัดแน่น ของดินในแปลงต่างๆ จึงได้ทำการปรับค่าดังกล่าวให้อยู่ในรูปแบบค่ามาตรฐาน ตามวิธีการที่เสนอโดย John C. Davis [20] เมื่อปรับค่าให้เป็นค่ามาตรฐานแล้วเส้นระดับค่าความต้านทานการแทงทะลุของดินนี้สร้างโดยวิธีการ Kringing ซึ่ง ตัวอย่างเส้นระดับที่สร้างขึ้นนี้ดังแสดงในรูปที่ 33 ซึ่งเป็นผลของตัวอย่างที่ 3 ในแปลง M4-2 จากรูปจะเห็นว่าค่าความ ต้านทานการแทงทะลุของดินนั้นมีทั้งค่าบวก และค่าลบ ในการสร้างเส้นระดับนี้ได้ทำการปรับระดับผิวดินที่ตำแหน่ง ต่างๆ ให้มาอยู่ที่ระดับความลึกที่ 0 cm



รูปที่ 33 เส้นระดับความต้านทานการแทงทะลุของดินในรูปแบบค่ามาตรฐาน

4.2.6 เส้นระดับค่าแตกต่างของค่าความต้านทานการแทงทะลุของดินตามค่ามาตรฐาน

รูปที่ 34 ถึง 49 แสดงตัวอย่างของเส้นระดับของความแตกต่างของค่าความต้านทานการแทงทะลุของดินตาม ค่ามาตรฐาน จากรูปเส้นระดับของความแตกต่างค่าความต้านทานการแทงทะลุของดินระหว่างแปลงที่ใช้แรงงานคนนั้น ค่อนข้างกระจายสม่ำเสมอกว่าค่าความแตกต่างของการแทงทะลุของดินระหว่างแปลงที่ใช้เครื่องจักรกลการเกษตร และ นอกจากนี้ค่าความแตกต่างระหว่างแปลงที่ใช้เครื่องจักรกลการเกษตรนั้น บางแห่งมีค่ามากกว่าบริเวณอื่นมากอย่าง สังเกตได้ สะท้อนถึงการอัดแน่นที่เพิ่มขึ้นมากบางบริเวณเนื่องจากการใช้เครื่องจักรกลการเกษตรในการพาะปลูกอ้อยตอ ในปีต่อมา ซึ่งการเพิ่มขึ้นนี้เมื่อสังเกตุจากรูปบริเวณดังกล่าวพอจะบ่งชี้ได้ว่ากระจายอยู่มากบริเวณระยะ 80-120 cm ตามแนวระดับ ส่วนผลของความแตกต่างของค่าความต้านทานการแทงทะลุของดินระหว่างแปลงที่ใช้เครื่องจักรกลการ เกษตรกับแปลงที่ใช้แรงงานคนมีลักษณะเช่นเดียวกับผลระหว่างแปลงที่ใช้เครื่องจักรกลการเกษตร

